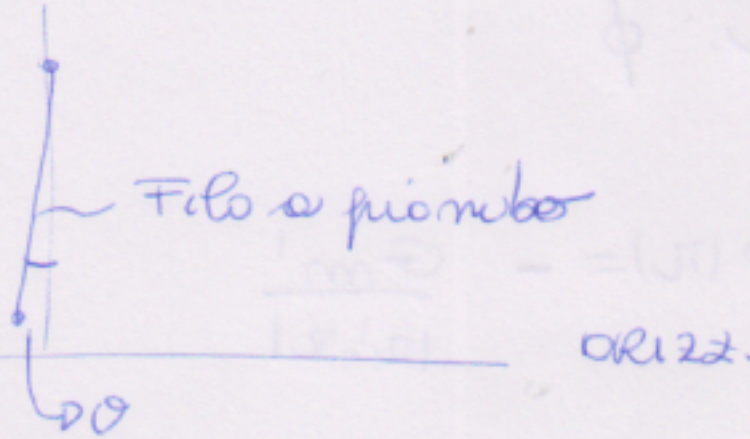


angolo di deflessione $\theta \approx -\frac{c^2 R}{2g} \sin(2\lambda) \sim -91^\circ \sin(2\lambda)$



Più che una sfera, un ellissoide

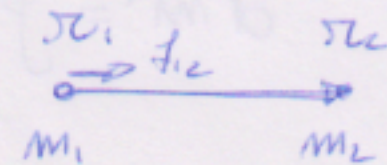
descrivono meglio la forma della Terra

FITZPATRICK
AN INTRODUCTION TO
CELESTIAL MECHANICS

Faciamo una digressione sul campo gravitazionale
Newtoniano

La forza gravitazionale che si genera in presenza di
due masse puntiformi è data da

$$f_{12} = G m_1 m_2 \frac{r_2 - r_1}{|r_2 - r_1|^3}$$



forza che agisce su massa m₁, detta da m₂

G: costante gravitazionale universale = $6,7 \times 10^{-11} \text{ m}^3 \text{kg}^{-1} \text{s}^{-2}$

definendo $f_{12} = m_1 \vec{g}'$

^{*}acceleraz. grav. di m₁

ottengo $\vec{g}' = G m_2 \frac{r' - r}{|r' - r|^3}$ massa in r effettiva
da massa in m'

Abbiamo già visto come \vec{g} può essere scritto da una energ. potenz. grav. ϕ

$$\vec{g} = -\vec{\nabla}\phi(r) \quad \phi(r) = -\frac{Gm}{|r-r'|}$$

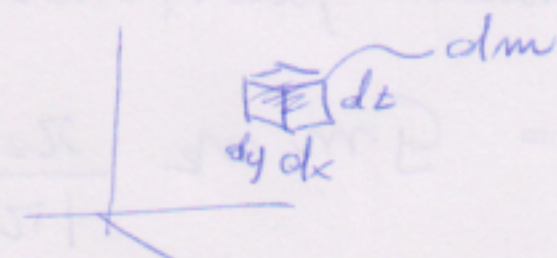
Se considero una serie di masse puntiformi

$$\phi(r) = \sum_i^N -\frac{Gm_i}{|r_i-r|} \quad \text{avv. molte sorg. } g = \vec{\nabla}\phi$$

Sorg. p. degli effetti

Nel limite continuo di una dist. di masse condensate $\rho(r')$ (ovvero ⁱⁿ un "volumetto" dV trovo una massa

$$dm' = \rho(r') dV(r')$$



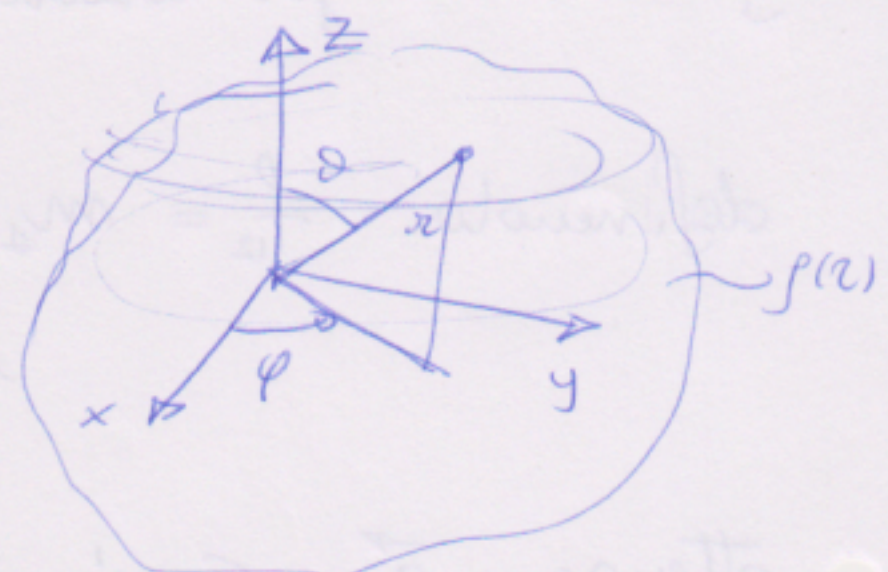
$$\phi = -G \int_V \frac{dm'(r)}{|r'-r|} = -G \int_V \frac{\rho(r') dV(r')}{|r-r'|}$$

Passiemo in coord. sferiche

e consideriamo l'ipotesi

dell'angolo φ : simmetria

assiale della distribuzione



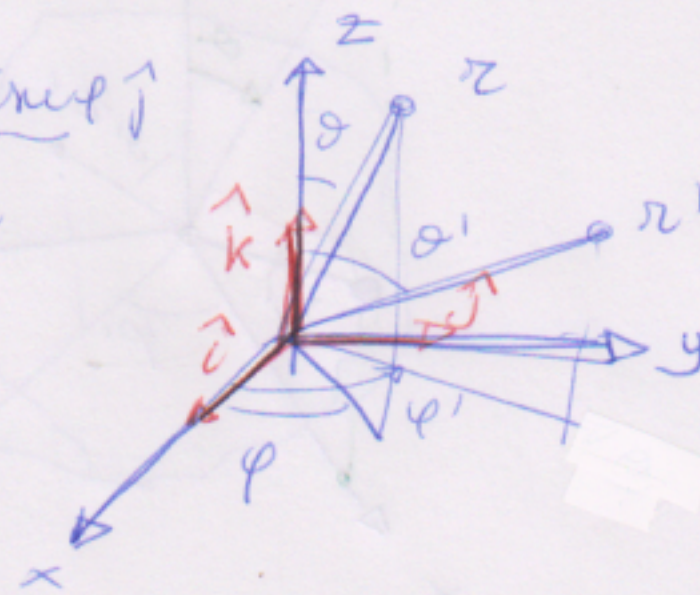
$$\begin{cases} x = r' \sin \theta \cos \varphi \\ y = r' \sin \theta \sin \varphi \\ z = r' \cos \theta \end{cases} \quad dV = (r'^2 \sin \theta) dr' d\varphi d\theta dz$$

$$\phi = -G \int_0^\infty \int_0^\pi \int_0^{2\pi} \frac{(r')^2 f(r, \theta') \sin \theta' d\theta' d\varphi d\theta}{|r - r'|}$$

$$= -G \int_0^\infty \int_0^\pi (r')^2 f(r', \theta') \sin \theta' d\theta' d\varphi \int_0^{2\pi} \frac{1}{|r - r'|} d\varphi'$$

$$\text{Calcolo} |r - r'| = \sqrt{|r|^2 + |r'|^2 - 2 \vec{r} \cdot \vec{r}'}$$

$$\vec{r} = \frac{d}{|r|} \left(\underbrace{\sin \theta \cos \varphi}_{x_r} \hat{i} + \underbrace{\sin \theta \sin \varphi}_{y_r} \hat{j} + \underbrace{\cos \theta}_{z_r} \hat{k} \right)$$



$$\text{analog. } \vec{r}' = d' \left(\sin \theta' \cos \varphi' \hat{i} + \sin \theta' \sin \varphi' \hat{j} + \cos \theta' \hat{k} \right)$$

poniamo

$$\vec{r} \cdot \vec{r}' = dd' \cdot F$$

$$\frac{1}{|r - r'|} = \frac{1}{\sqrt{d^2 + d'^2 - 2dd'F}} = \frac{1}{d \sqrt{1 + \left(\frac{d'}{d}\right)^2 - 2 \frac{d'}{d} F}}$$

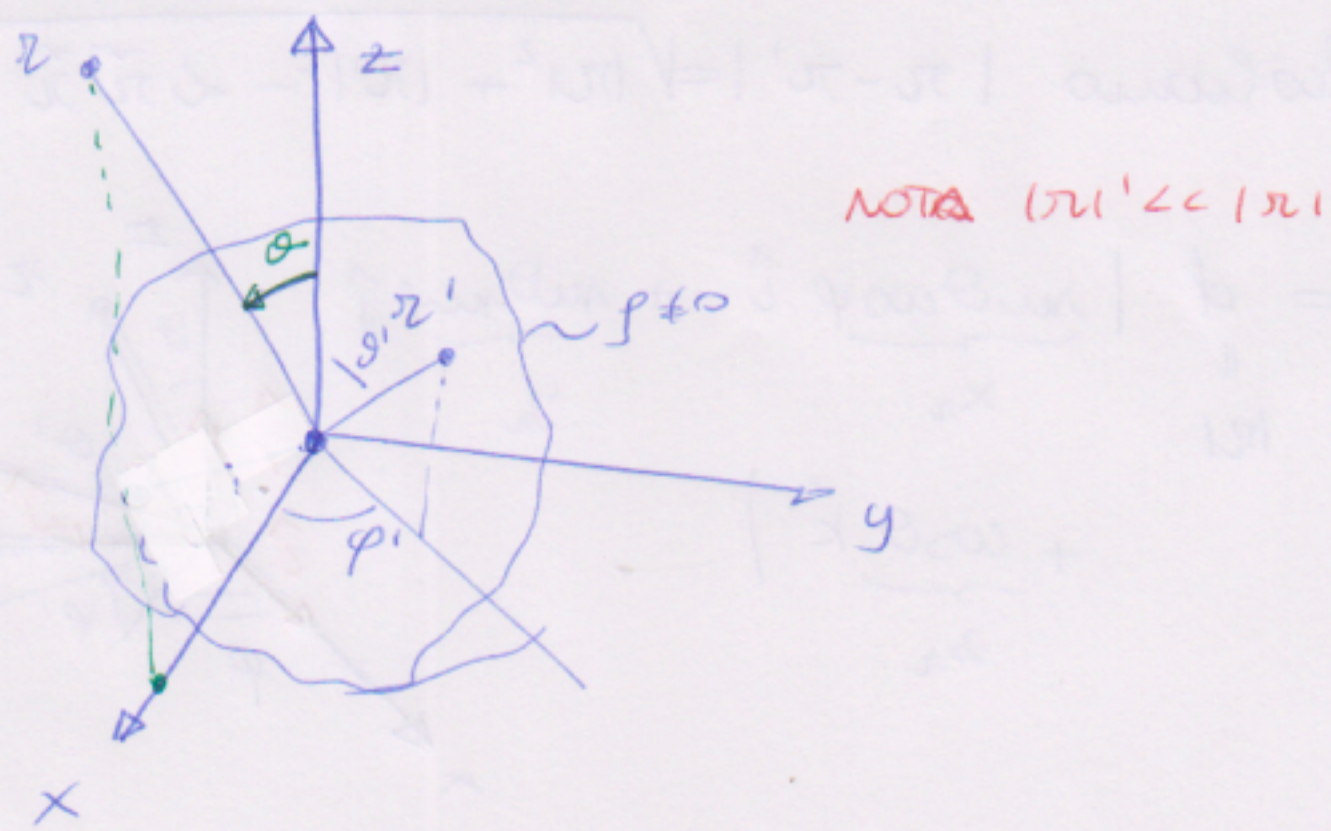
Supponiamo $d \gg d'$, in questo caso poniamo

Si suppone in serie di Taylor $\frac{1}{\sqrt{1+x}} = 1 - \frac{1}{2}x + \dots$

$$\frac{1}{|r-r'|} = \frac{1}{d} \left[1 + \frac{d'}{d} F - \left(\frac{d'}{d} \right)^2 \frac{1}{2} + \frac{1}{2} \left(\frac{d'}{d} \right)^2 (3F^2 - 1) + \mathcal{O}\left(\left(\frac{d'}{d}\right)^3\right) \right]$$

Calcoliamo $\int_0^{2\pi} \frac{1}{|r-r'|} d\varphi \equiv 2\pi \langle \frac{1}{|r-r'|} \rangle$
 ↳ molte nell'angolo

Mi metto in un ref. in cui φ di $r=0$



$$\text{In questo caso } F = \frac{r \cdot r'}{dd'} = \sin\theta \sin\theta' \cos\varphi' + \cos\theta \cos\theta'$$

Calcoliamo $\int_0^{2\pi} F d\varphi = 2\pi \cos\theta \cos\theta' + \sin\theta \sin\theta' \int_0^{2\pi} \cos\varphi'$

$$= \langle F \rangle = \cos\theta \cos\theta'$$

Alla stessa maniera $\langle F^2 \rangle = \frac{1}{2\pi} \int_0^{2\pi} F^2 d\varphi$

troviamo $\langle \cos^2 \varphi \rangle = \frac{1}{2}$

$$\langle F^2 \rangle = \cos^2 \theta \cos^2 \frac{1}{2} \sin^2 \theta \sin^2 \theta' + \cos^2 \theta \cos^2 \theta' =$$

$$= \frac{1}{3} + \frac{2}{3} \left[\underbrace{\frac{3}{2} \cos^2 \theta - \frac{1}{2}}_{\text{fattorizzando } \theta \text{ e } \theta'} \right] \left[\underbrace{\frac{3}{2} \cos^2 \theta' - \frac{1}{2}}_{\text{fattorizzando } \theta \text{ e } \theta'} \right]$$

Ottroviamo

$$\begin{aligned} \langle \frac{1}{|x-r'|} \rangle &= \frac{1}{d} \left[1 + \left(\frac{d'}{d} \right) \cos \theta \cos \theta' + \right. \\ &\quad + \left(\frac{d'}{d} \right)^2 \left(\frac{3}{2} \cos^2 \theta - \frac{1}{2} \right) \left(\frac{3}{2} \cos^2 \theta' - \frac{1}{2} \right) + \\ &\quad \left. \left(\frac{d'}{d} \right)^3 \right] \end{aligned}$$

Procedendo nei calcoli, si puo' verificare che la sommatoria porta alla completa espansione in polinomi di Legendre.

Polinomi di Legendre

$$P_n(x) \doteq \frac{1}{2^n n!} \frac{d^n}{dx^n} (x^2 - 1)^n$$

$$P_0(x) = 1$$

$$P_1(x) = \frac{1}{2} \frac{d}{dx} (x^2 - 1) = x$$

$$P_2(x) = \frac{1}{4 \cdot 2} \frac{d^2}{dx^2} (x^2 - 1)^2 = \dots = \frac{1}{2} (3x^2 - 1)$$

$$P_3(x) = \frac{1}{2} (5x^3 - 3x)$$

Prop. fondaz. dei polini Legendre: ortogonalità

in $[-1, 1]$

$$\int_{-1}^1 P_n(x) P_m(x) dx = \int_0^\pi P_n(\cos\theta) P_m(\cos\theta) \sin\theta d\theta = \frac{\delta_{nm}}{m+1/2}$$

Sono molto un set completo ovvero, ogni funzione regolare def. in $[-1, 1]$ può essere raff. come

$$f(x) = \sum_n P_n(x) f_n \quad f_n = \frac{1}{2\pi} \int_0^\pi P_n(\cos\theta) f(\cos\theta) \sin\theta d\theta$$

\hookrightarrow coeff. dev.

$$f_n = \frac{1}{2\pi} \int_0^\pi P_n(x) f(x) \cdot (n+1/2) = (n+1/2) \int_0^\pi P_n(\cos\theta) f(\cos\theta) \sin\theta d\theta$$

Risolviamo lo sviluppo come

$$\begin{aligned} < \frac{1}{|\pi - \pi'|} > &= \frac{1}{d} \left[\underbrace{P_0(\cos\theta) P_0(\cos\theta')}_{= 1} + \left(\frac{d'}{d} \right)^2 P_1(\cos\theta) P_1(\cos\theta') \right. \\ &\quad \left. + \left(\frac{d'}{d} \right)^2 P_2(\cos\theta) P_2(\cos\theta') + O\left(\frac{d'}{d}\right)^3 \right] \end{aligned}$$

in generale vale

$$|\pi| > |\pi'| \Rightarrow < \frac{1}{|\pi - \pi'|} > = \frac{1}{|\pi|} \sum_{m=0}^{\infty} \left(\frac{|\pi'|}{|\pi|} \right)^m P_m(\cos\theta) P_m(\cos\theta')$$

analog.

$$|\pi| < |\pi'| \Rightarrow < \frac{1}{|\pi - \pi'|} > = \frac{1}{|\pi'|} \sum_{m=1}^{\infty} \left[\frac{|\pi|}{|\pi'|} P_m(\cos\theta) P_m(\cos\theta') \right]$$

Tornando all'espressione del potenziale gravitazionale

$$\phi = -G \int_0^\infty \int_0^\pi r' p(r', \theta) r n \theta d\theta dr' \cdot 2\pi < \frac{1}{|r-r'|} >$$

$$= -2\pi G \sum_n P_m(\cos\theta) \cdot \left[\int \frac{1}{|r|^m+1} \int_0^\pi (r')^{m+2} f(r', \theta') P_m(\cos\theta') n \theta' d\theta' dr' \right]$$

$$n(\theta) \cdot P_m(\cos\theta') d\theta' d\theta + |r|^m \int_0^\infty \int_0^\pi (r')^{1-m} f(r', \theta') P_m(\cos\theta') n \theta' d\theta' dr'$$

Potranno sfruttare l'ostog. delle f. di lagrange sviluppando anche la funzione $f(r, \theta)$ come detto prima per la completezza posso sviluppare in serie (ma f. guerita)

$$f(r, \theta) = \sum f_m(r) P_m(\cos\theta)$$

$$\text{dove } f_m(r) = (m+1/2) \int_0^\pi f(r, \theta) P_m(\cos\theta) n \theta d\theta$$

Inserisco nell'esp. per ϕ . Considero il primo termine

$$\frac{-2\pi G}{|r|^{m+1}} \sum_n \sum_m \int_0^\infty r' f_m^{(m+2)} f_m(r) \underbrace{\int_0^\pi P_m(\cos\theta') P_m(\cos\theta'') n \theta' n \theta''}_{J_{nm}/m+1/2} d\theta' d\theta''$$

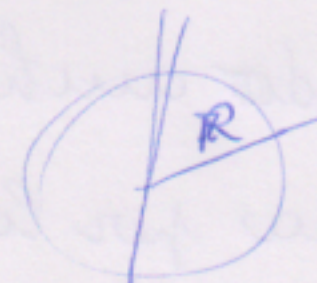
$$= - \frac{G 2\pi z}{|r'|^{m+1} n (m+1/2)} \left\{ P_m(\cos\theta) \int_0^{|r'|} (r')^{m+2} f_n(r') dr' \right\}$$

analog. per l'altro termine e troviamo

$$\phi = -2\pi G \sum_n \frac{P_m(\cos\theta)}{m+1/2} \left(\int_0^{|r'|} \frac{1}{|r'|^{m+1}} \int_0^{|r'|} r'^{(m+2)} f_n(r') dr' + \int_{|r'|}^\infty \frac{1}{|r'|^n} \int_{|r'|}^\infty r'^{(-n)} f_n(r') dr' \right)$$

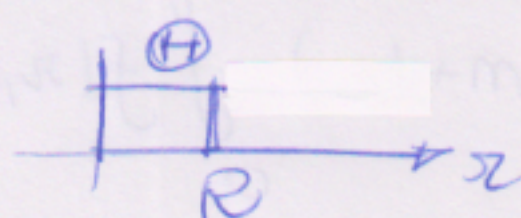
Potenziale grav. di una sfera uniforme

$$f(r, \theta) = \begin{cases} \gamma & r \leq R \\ 0 & r > R \end{cases}$$



f non ha dep. da θ quindi $f = P_0(\cos\theta) \cdot \Theta(\frac{R-r}{R-r})$

Θ funzione Heaviside $\Theta(R-r) = \begin{cases} 1 & r \leq R \\ 0 & r > R \end{cases}$



$$\text{Quindi } f(r) = \begin{cases} \Theta(R-r) & n=0 \\ 0 & \text{altro} \end{cases}$$

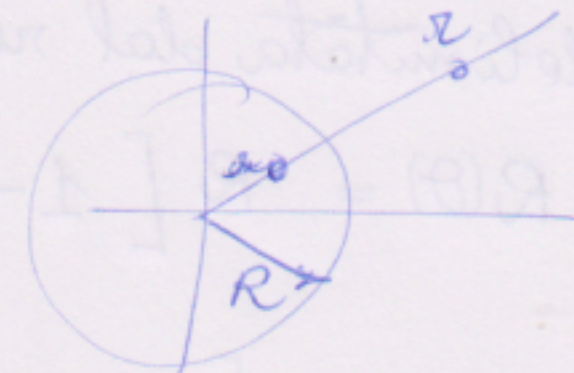
Potenziale grav.

$$\phi = -2\pi G \cdot \rho \gamma \left(\int_{|r'|}^R \frac{1}{|r'|} \int (r')^2 dr' + \int_R^{|r|} \frac{1}{r'} dr' \right)$$

NOTA

su $|r'| > R$ il secondo termine scompare

$$\phi(r) = -4\pi G \delta \int_0^R (r')^2 dr'$$



$$= -\frac{4\pi}{3} R^3 \frac{G\delta}{|r|} = -\frac{M G}{|r|}$$

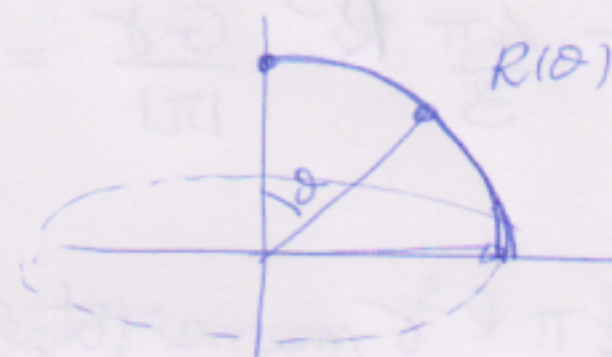
$$M = \frac{4}{3}\pi R^3 \delta \text{ massa totale della sfera}$$

Il pot. grav. esterno ad una sfera coincide col pot. grav. prodotto da una mma p*unto* formata collocate al centro delle sfera intere (per questo nonamo trattare pieno come punti ma si commettere errori)

Consideriamo adesso l'effetto del primo ordine
nello sviluppo Legendre della densità di massa,
ovvero una distribuzione di massa a densità costante
delimitata dal raggio

$$R(\theta) = R \left[1 - \frac{2}{3} \varepsilon P_2(\cos \theta) \right] =$$

$$= R \left[1 - \varepsilon \left[\cos^2 \theta - \frac{1}{3} \right] \right]$$



per $\theta = 0 \quad R(\theta) = R \left[1 - \frac{2}{3} \varepsilon \right] < R$

$$R(\pi/2) = R \left[1 + \frac{\varepsilon}{3} \right] > R$$

Sfera allungata a equatore e accorciata ai
poli di un fattore ε : ellittato.

Si verifica che la figura ottenuta è un ellissoide di
rotazione

Calcoliamo il potenziale grav. esterno ad un ellissoide

con $\epsilon \ll 1$

$$(|r'| > R(\pi/2))$$

$$\phi = -2\pi G \sum_m P_m(\cos\theta) \left\{ \frac{1}{|r|^{m+1}} \int_0^{|r'|} \int_0^\pi (r')^{m+2} f(r', \theta') \right.$$

$$r_m(\theta') P_m(\cos\theta') dr' d\theta' +$$

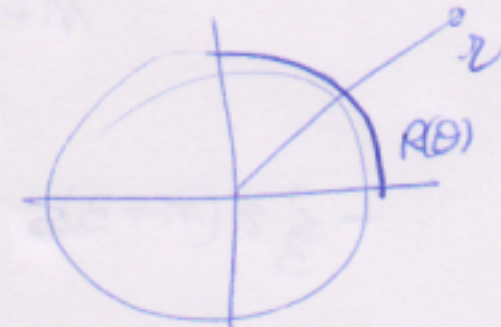
$$\left. + |r'|^\infty \int_0^\infty \int_0^\pi (r')^{1-m} f(r', \theta') P_m(\cos(\theta')) r_m \theta' d\theta' dr' \right\}$$

$$f(r', \theta') = \Theta(R(\theta) - r') \gamma$$

$$\gamma = \frac{M}{\frac{4}{3}\pi R^3} \quad \text{densità delle sfere}$$

$$R(\theta) = R \left[1 - \frac{2}{3} \epsilon P_2(\cos\theta) \right]$$

Fatto raggio
medio)



Il secondo integrale è nullo $|r'| > |r| \Rightarrow \Theta(R(\theta) - r') \approx 0$

$$\phi = -2\pi G \sum_m P_m(\cos\theta) \left\{ \frac{1}{|r|^{m+1}} \int_0^{\pi R(\theta)} r'^{m+2} r_m \theta' P_m(\cos\theta') dr' d\theta' \right\}$$

$$\frac{1}{|r|^{m+1}} \int_0^\pi r_m \theta' P_m(\cos\theta') d\theta' \int_0^{\pi R(\theta')} r'^{m+2} dr'$$

$$\int_0^{R(\theta)} r^{m+2} dr = \frac{R(\theta)^{m+3}}{m+3} =$$

$$= \frac{R^{m+3}}{m+3} \left[1 - \frac{2}{3} \varepsilon P_2(\cos\theta') \right]^{m+3} \xrightarrow{\text{EZL1}}$$

$$\approx \frac{R^{m+3}}{m+3} \left[1 - (m+3) \frac{2}{3} \varepsilon P_2(\cos\theta') \right]$$

$$\phi = -2\pi G \delta \sum_n P_m(\cos\theta) \frac{1}{|r|^{m+1}} \int_0^\pi r \sin\theta' P_m(\cos\theta') d\theta'.$$

$$\cdot \frac{R^{m+3}}{m+3} \left[1 - \frac{2}{3} \varepsilon (m+3) P_2(\cos\theta') \right] d\theta'$$

$$= -2\pi G \delta \sum_n \frac{P_m(\cos\theta)}{m+3} \left(\frac{R}{|r|} \right)^m \frac{R^3}{|r|} \left[\int_0^\pi r \sin\theta' P_m(\cos\theta') d\theta' \right. \\ \left. - \frac{2}{3} \varepsilon (m+3) \int_0^\pi P_2(\cos\theta') P_m(\cos\theta') r \sin\theta' d\theta' \right]$$

Usando le relaz. di ortogonalità

$$\int_0^\pi P_m(\cos\theta) P_0(\cos\theta) r \sin\theta d\theta = J_{m,0} \cdot 2$$

$$\int_0^\pi P_2(\cos\theta) P_m(\cos\theta) r \sin\theta d\theta = \frac{J_{m,2}}{2+1/2} = \delta_{m,2} \frac{2}{5}$$

Ottendiamo

$$\phi = -2\pi G \delta \left[\frac{1}{3} \frac{R^3}{|ru|} \cdot 2 + \frac{P_2(\cos\theta)}{5} \left(\frac{R}{|ru|} \right)^2 \frac{R^3}{|ru|} \cdot \left(-\frac{2}{3} \varepsilon (m+3) \cdot \frac{2}{5} \right) \right]$$

$$= -2\pi G \frac{M \delta}{4\pi R^3} \left[\frac{2}{3} \frac{R^3}{|ru|} + \varepsilon P_2(\cos\theta) \frac{R^5}{|ru|^3} \frac{4}{3 \cdot 25} \right]$$

$$= -\frac{GM}{|ru|} + \varepsilon \frac{MG}{5} P_2(\cos\theta) \frac{R^2}{|ru|^3}$$

Il potenziale sulla superf. dell'ellisse di rotazione

$$|ru| = R(\theta)$$

$$\phi(R(\theta), \theta) = -\frac{MG}{R(\theta)} + \varepsilon \frac{2}{5} P_2(\cos\theta) \frac{R^2}{R(\theta)^3} MG$$

Possendo $R(\theta) \approx R$ (le variaz. del raggio sono trascurabili)

$$\phi(R, \theta) = -\frac{GM}{R} \left[1 - \frac{2}{5} \varepsilon P_2(\cos\theta) \right] \left[1 + \frac{2}{3} \varepsilon P_2(\cos\theta) \right]$$

$$\frac{R^2}{R^3(\theta)} \stackrel{\text{def}}{=} \frac{R^2}{R^3} + \varepsilon \quad \frac{1}{R(\theta)} \stackrel{\text{def}}{\simeq} \frac{1}{R} \left[1 - \frac{2}{3} \varepsilon P_2(\cos\theta) \right] \simeq \frac{1}{R} \left[1 + \frac{2}{3} \varepsilon P_2(\cos\theta) \right]$$

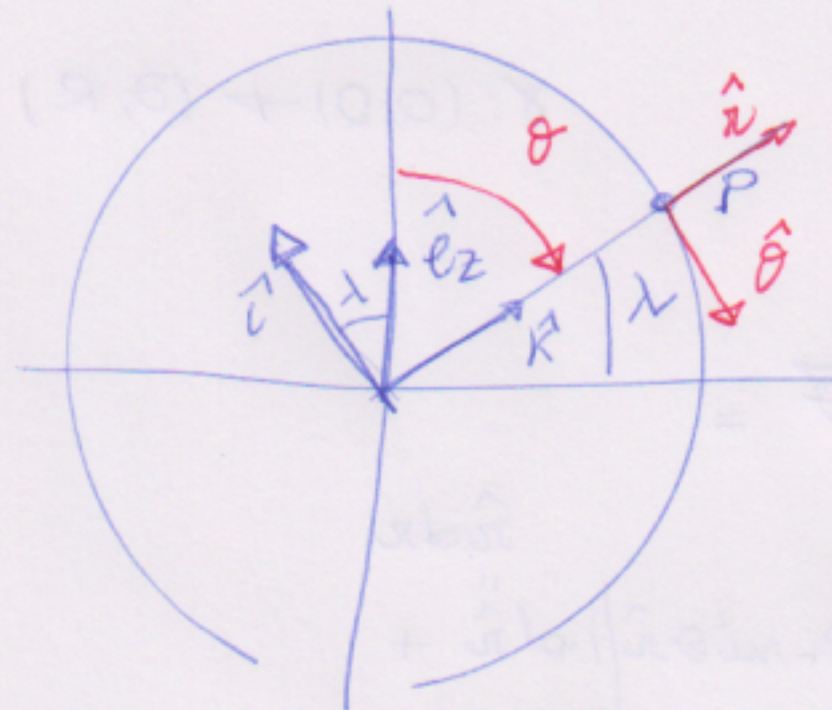
$$\boxed{\phi = -\frac{MG}{R} \left[1 + \varepsilon \frac{4}{15} P_2(\cos\theta) \right]}$$

Potenziali della forza centrifuga terrestre

Riprendiamo l'accelerazione centrifuga

$$\vec{a}_c = -R \vec{\omega}^2 (\vec{\omega}_1 \hat{k})$$

calcoliamo rispetto al r.t.d. r.f. rotante



Prendo un pt. P e scelgo i nel piano (\hat{e}_z, \hat{k})

$$\hat{e}_z = \hat{i} \cos \lambda + \hat{k} \sin \lambda$$

$$\vec{\omega} = \omega_0 \hat{e}_z = \omega_0 (\hat{i} \cos \lambda + \hat{k} \sin \lambda)$$

$$\omega_1 \hat{k} = \omega_0 (\hat{i} \cos \lambda + \hat{k} \sin \lambda) \wedge \hat{k} = \omega_0 (-\cos \lambda \hat{j})$$

$$\vec{\omega}_1 (\vec{\omega}_1 \hat{k}) = \omega_0^2 (\hat{i} \cos \lambda + \hat{k} \sin \lambda) \wedge (-\cos \lambda \hat{j}) = \\ \omega_0^2 [-\hat{k} \cos^2 \lambda + \sin \lambda \cos \lambda \hat{i}]$$

$$\vec{a}_c = -R \omega_0^2 [\hat{i} \sin \lambda \cos \lambda - \cos^2 \lambda \hat{k}]$$

Cercò il potenziale associato ad \vec{a}_c . Conviene utilizzare le coordinate sferiche standard con angolo theta

$$\cos \lambda = \frac{\pi}{2} - \theta \Rightarrow \cos \lambda = m \theta; m \lambda = \cos \theta$$

$$\hat{k} = \hat{e}_r \quad \hat{i} = -\hat{\theta}$$

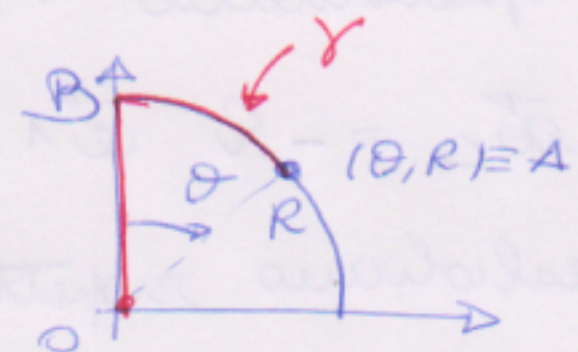
$$\vec{a}_c = R\omega^2 (\hat{\theta} r \sin \theta \cos \theta + r^2 \theta \hat{e}_r)$$

Troviamo il potenz. ^{cent.} ~~spazi~~: corr.

$$\vec{a}_c = -\nabla x$$

$$x_{(R,\theta)} = - \int \vec{a}_c d\ell$$

$\gamma: O \rightarrow A$



$$\gamma: (0,0) \rightarrow (\theta, R)$$

$$\begin{aligned}
 &= - \int_0^R \vec{a}_c d\vec{r} - \int \vec{a}_c d\vec{\theta} = \\
 &= - R\omega^2 \left[\int_0^R r \underbrace{(\hat{\theta} r \sin \theta \cos \theta + r^2 \theta)}_{\parallel} \hat{e}_r dr + \right. \\
 &\quad \left. \int_0^\theta R (\hat{\theta} r \sin \theta \cos \theta + r^2 \theta) \hat{r} d\theta \right] \\
 &= - \omega^2 R^2 \int_0^\theta r \sin \theta \cos \theta d\theta = - \omega^2 R^2 \frac{r^2 \sin 2\theta}{2}
 \end{aligned}$$

Possiamo supponere di prendere x e verificare $\vec{a}_c = -\nabla x$

con la formula del gradiente in coord. polari

$$\vec{\nabla} = \hat{e}_r \frac{\partial}{\partial r} + \hat{\theta} \frac{1}{r} \frac{\partial}{\partial \theta}$$

$$\begin{aligned}
 -\nabla x &= -\hat{e}_r (-\omega R r^2 \theta) - \hat{\theta} \frac{1}{R} (-R^2 \omega^2 r \sin \theta \cos \theta) \\
 &= \vec{a}_c (R, \theta)
 \end{aligned}$$

$$Abbiamo traceto \quad x_{\text{fit}} = \frac{\omega_0^2 |r|^2 m^2 \theta}{2}$$

Ricordiamo la def. di polinomio ~~degangue~~ Legendre

$$P_2(\cos\theta) = \frac{3}{2} \cos^2\theta - \frac{1}{2}$$

$$\frac{3}{2} m^2 \theta = (1 - \cos^2\theta) \frac{3}{2} = -\frac{3}{2} \cos^2\theta + \frac{1}{2} + 1 = 1 - P_2(\cos\theta)$$

$$x = \frac{\omega_0^2 |r|^2}{3} [P_2(\cos\theta) - 1] = \frac{M G}{R} \left(\frac{|r|}{R}\right)^2 \bar{\zeta} [P_2(\cos\theta) - 1]$$

$$\text{dove } \bar{\zeta} = \frac{\omega_0^2}{3} \frac{R^3}{M G} \quad x(R, \theta) = \frac{M G}{R} \bar{\zeta} [P_2(\cos\theta) - 1]$$

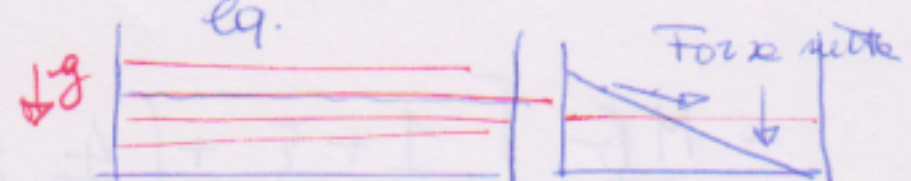
Riprendiamo l'espressione del pot. gravitazionale

$$\phi^{(R\beta)} = -\frac{M G}{R} \left[1 + \varepsilon \frac{4}{15} P_2(\cos\theta) \right]$$

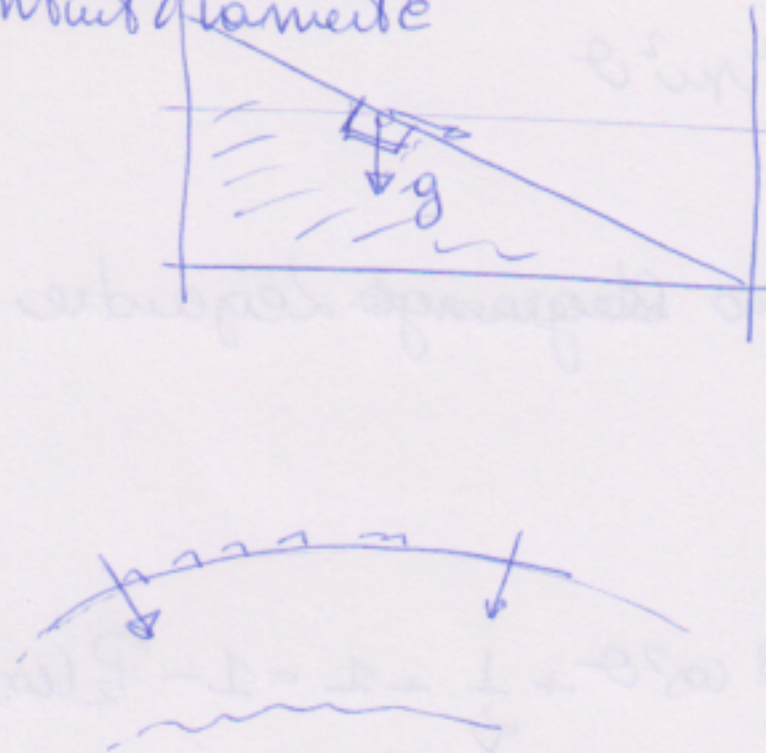
Potenziale Totale sulla superficie dell'ellisocole di rotazione

$$\boxed{\phi + x = -\frac{M G}{R} \left[1 + \bar{\zeta} + \varepsilon \left(\frac{4}{15} - \bar{\zeta} \right) P_2(\cos\theta) \right]}$$

Digressione: Un fluido sottoposto ad un campo di forze, all'equilibrio lascia la superficie libera lungo le superfici di campo costante. Un fluido non può reagire a forze di taglio



Intuitivamente



ma molecole di fluido si comportano come una molla che resiste lungo la sup. libera del fluido

Traffanno in prima appross la Terra come un sistema fluido e incompromessibile (sfera d'acqua).

Quale sarà la sua configurazione?

Suop la superficie libera, il potenziale totale delle forze gravitazionali e centrifugo deve essere costante.

Il fluido rideformerà finché non riuscirà ad adagiare la sua superf. esterna su di una superf.

equipotenziali : NOTA : già delle deviazioni fatti appare chiaro che il potenziale netto del fluido dipende essenzialmente dalla forma del fluido (prob. non lineare)

La sup esterna ~~però~~ è correttissimamente

$$(x + \phi)(R, \theta) = \text{cost}$$

$$-\frac{MG}{R} \left[1 + \xi + \left(\frac{4}{15} \varepsilon - \xi \right) \cdot P_2(\cos \theta) \right] = \text{cost}$$

$$\text{otteniamo } \varepsilon = \frac{15}{4}$$

ellittica

Risolviamo l'espressione utilizzata per parametrizzare

$$\text{la superf. } R(\theta) = R \left[1 - \frac{2}{3} \varepsilon \cos(\theta) \right] = R \left[1 - \varepsilon \left| \cos\theta - \frac{1}{3} \right| \right]$$

$$\text{Polo } R_p(0) = R \left[1 - \frac{2}{3} \varepsilon \right] \doteq R_p$$

$$\hookrightarrow P_2(\cos\theta) = \frac{3}{2} \cos^2\theta - 1$$

$$\text{Eq. } R_p(\pi/2) = R \left[1 + \frac{1}{3} \varepsilon \right] \doteq R_E$$

$$\frac{R_E - R_p}{R} = \varepsilon$$

$\xrightarrow{\text{ellip. è la variaz \% dei raggi quote polari}}$

$$\frac{R_E - R_p}{R} = 5 \frac{15}{4} = \frac{5}{4} \frac{\omega_0^2 R^3}{GM}$$

$$R_E - R_p = \frac{5}{4} \frac{\omega_0^2 R^4}{GM}$$

Calcoliamo utilizzando i parametri

$$R = 6,4 \cdot 10^6 \text{ m} \quad \omega_0 = 7,3 \cdot 10^{-5} \text{ rad/s} \quad M = 5,9 \cdot 10^{24} \text{ kg}$$

$$R_E - R_p = \frac{5}{4} \frac{(7,3)^2 \cdot 10^{-10} (6,4)^4 \cdot 10^{24}}{5,9 \cdot 10^{24} \cdot 6,7 \cdot 10^{-11}} \approx 27,5 \text{ Km}$$

Valore misurato 21,4 Km, $\varepsilon = 3,4 \cdot 10^{-4} \ll 1$
di fatto ma falso